

La-Nb

$\text{LaNbO}_4$ ,  $\text{SmNbO}_4$ ,  $\text{YNbO}_4$  (Ttr)

1963

$\text{SmTaO}_4$ ,  $\text{YTaO}_4$

Rooksby H. P., White E. A. D.,

Acta crystallogr., 1963, 16, N 9, 888-890.

The structures of 1:1 compounds of rare earth oxides with niobia and tantalum

lect 6 opn.

6

Przegu, 1964, 14 276

B

VIII 2614.

1964

Za, Ce, Nd, Gd, Ho, Y, Tm, Yb (T<sub>tr</sub>)  
ZaNbO<sub>4</sub>, CeNbO<sub>4</sub>, NdNbO<sub>4</sub>, GdNbO<sub>4</sub>,  
HoNbO<sub>4</sub>, TmNbO<sub>4</sub>, YbNbO<sub>4</sub>, YNbO<sub>4</sub>,  
(T<sub>tr</sub>)

Gingerich K.A., Bair H.E.

Advances X-ray Analysis. Vol. 7.

Denver, Colo, 1964, 22-30

PNR, 1965, 95683

7 B SEARCHED  
ccms specimen

$Ta_3O_7$ ;  $Ta_3Nb_7$ ;

VIII4061,  
1964.

Cr. 842.

Roosby H.P., White A.D.

J. Amer. Ceram. Soc., 1964, 47, N2, 94-96

Rare-earth niobates and tantalates of defect fluorite- and weberite-type structures

PX

1965

N 5244

MC O

*Ames*

LaNbO<sub>4</sub>

*Ames*

1965

90599h Solid-phase reactions between niobium and tantalum pentoxides and rare-earth element oxides. E. P. Savchenko, N. A. Godina, and E. K. Keler. *Khim. Vysokotemp. Mater.*, Tr. Vses. Soveshch., 2nd, Leningrad 1965, 99-105(Pub. 1967)(Russ.). Solid-phase-reactions between 99.6% pure Nb<sub>2</sub>O<sub>5</sub>, 99.0% pure Ta<sub>2</sub>O<sub>5</sub>, and 99.8% pure La<sub>2</sub>O<sub>3</sub>, Pr<sub>6</sub>O<sub>11</sub>, CeO<sub>2</sub>, and Nd<sub>2</sub>O<sub>3</sub> were investigated, using x-ray, chem., and thermal anal. methods. In the system La<sub>2</sub>O<sub>3</sub>-Nb<sub>2</sub>O<sub>5</sub>, the following 4 compds. are formed: LaNbO<sub>4</sub>, La<sub>3</sub>NbO<sub>7</sub>, La<sub>2</sub>Nb<sub>3</sub>O<sub>9</sub>, and La<sub>2</sub>Nb<sub>12</sub>O<sub>33</sub>. LaNbO<sub>4</sub> crystallizes in the monoclinic form and is isostructural with fergusonite. At 550-600°, LaNbO<sub>4</sub> undergoes a reversible polymorphic transformation, going from the monoclinic to the tetragonal form. This compd. m. congruently at 1620°. La<sub>3</sub>NbO<sub>7</sub> has a distorted perovskite structure and crystallizes in the tetragonal form. This compd. m. incongruently at 1470° with the formation of LaNbO<sub>4</sub> and a liq. phase. La<sub>2</sub>Nb<sub>3</sub>O<sub>9</sub> crystallizes in the orthorhombic form and is isostructural with the mineral webnerite.

*apay. nep*

*T.M.*

C.A. 1968. 68-20

This compd. m. congruently at 1780°. The process of formation of these 4 compds. was studied. Ce niobates are identical to and isostructural with La niobates. In the  $\text{Pr}_2\text{O}_3$ - $\text{Nb}_2\text{O}_5$  and  $\text{Nd}_2\text{O}_3$ - $\text{Nb}_2\text{O}_5$  systems, only 3 types of compds. were obtained, with the general formulas  $\text{LnNbO}_4$ ,  $\text{Ln}_3\text{NbO}_7$ , and  $\text{LnNb}_3\text{O}_9$ , which are analogous to La and Ce niobates. A study of the synthesis of all of these compds. showed a stepwise formation of these compds. The phase diagram for the  $\text{La}_2\text{O}_3$ - $\text{Nb}_2\text{O}_5$  system was constructed. Interactions between  $\text{Ta}_2\text{O}_5$  and  $\text{La}_2\text{O}_3$ ,  $\text{CeO}_2$ ,  $\text{Pr}_6\text{O}_{11}$ , and  $\text{Nd}_2\text{O}_3$  were studied at 900-1800°. Studied were compns. contg. 80-20%  $\text{Ta}_2\text{O}_5$ . Three types of compds., with the general formulas  $\text{Ln}_3\text{TaO}_7$ ,  $\text{LnTaO}_4$ , and  $\text{LnTa}_3\text{O}_9$ , were formed. Based on equal ionic radii for  $\text{Nb}^{5+}$  and  $\text{Ta}^{5+}$  (0.66 Å.) one would expect that all the Ta compds. formed would be isostructural with the Nb compds. However, the orthotantalates have a different structure, which has not yet been established.  $\text{LaTaO}_4$  and  $\text{CeTaO}_4$  m. congruently at 1880-1900°. Complete analogy in the structural types of the compds. formed was observed only in the  $\text{Nd}_2\text{O}_3$ - $\text{Nb}_2\text{O}_5$  and  $\text{Nd}_2\text{O}_3$ - $\text{Ta}_2\text{O}_5$  systems.

S. A. Mersol

VIII 1277

1966

La N<sub>65</sub>O<sub>14</sub> (Tm)

Chretien A., Bodiot D.,  
C. r. Acad. sci., 1966, C263, 882-884

Б

Р1ЕХ, 1967, 13828

lects oper.

1367

LaNbO<sub>3</sub> (T<sub>u</sub>, T<sub>tr</sub>) ; Na<sub>3</sub>NbO<sub>3</sub> (T<sub>u</sub>) VII 323

Сабурово 3.11. 1967 г. автор Г. А., Кемеровской обл.  
Кемеровский высокотемператур.

Кемеров. Тр. 220 Всесоюзн.  
облес., Новокузнецк, 1965, 99-105.  
Нуб 1967

5	9p	• 1. 1968
---	----	-----------

$\text{SnNb}_2\text{O}_6$  (Tm)  
 $\text{LaNb}_5\text{O}_{14}$

VII 3199

1968

Bodick &

Rev. Chim. Miner., 1968, 5(3), 569-607

Comparison of niobium and tantalum compounds

10

15.376 m. m.

CA, 1968, 69, J26, 112939

$\text{La}_2\text{Nb}_{12}\text{O}_{33}$ ,  $(\text{Ce}_2\text{Nb}_{12}\text{O}_{33})$  <sup>8</sup> VII 1968

Годунова Н.А., Савченко Е.П., Келлер Э.К.

Докт. Акад. СССР, 1968, 178, №, 1324-1327

Исследование фазовых соотношений в системе  
 $\text{Ln}_2\text{O}_3 - \text{Nb}_2\text{O}_5$  в области, близкой к 19-миллиардным  
концентрациям.

РИИ Курн, 1968

176 928

5 ④

1970

 $\text{La}_3\text{NbO}_7$ 

VII-3959

103016w Structure of the compound  $\text{Ln}_3\text{NbO}_7$ , of the first members of the lanthanide series ( $\text{Ln}$  = lanthanum, neodymium, samarium). Tilloca, Gilbert; Perez y Jorba, Monique; Queyroux, Francine (Lab. Chim. Appl. Etat Solide, Centre Etud. Chim. Met., Vitry-sur-Seine, Fr.). *C. R. Acad. Sci., Ser. C* 1970, 271(2), 134-5 (Fr). The lattice parameters  $a$ ,  $b$ , and  $c$  (in Å), resp., of the orthorhombic crystals (space group *Pnam*) are:  $\text{La}_3\text{NbO}_7$  (m.  $\sim 1740^\circ$ ,  $Z = 4$ ) at room-temp., 7.62, 7.76, 11.15;  $\text{Nd}_3\text{NbO}_7$  (m.  $\sim 1800^\circ$ ) at  $1300^\circ$ , 7.52, 7.63, 10.91;  $\text{Sm}_3\text{NbO}_7$  (m.  $\sim 1800^\circ$ ) at  $1300^\circ$ , 7.59, 7.56, 10.81. Near the m.p.  $\text{Nd}_3\text{NbO}_7$  is tetragonal ( $a = 7.65$ ,  $c = 10.78$  Å), and  $\text{Sm}_3\text{NbO}_7$  is cubic ( $a = 5.35$  Å).

DWJF

+2

C.A. 1970-73-20



$\text{La}_3\text{NbO}_7$ ,  $\text{Nd}_3\text{NbO}_7$ ,  $\text{Sm}_3\text{NbO}_7$ , 1972  
(T<sub>g</sub>) VI 5545 VII ~~5540~~

Collongues R., Perez y Jorge Monique,  
Tillocq G.

Monatsh. Chem., 1972, 103, N<sup>o</sup> 571-576 (май)

Исследование поликристаллического состояния  
 $\text{Ln}_3\text{NbO}_7$ .

RHKHM, 1972

245507

1

2

5 (φ)

LaNbO<sub>4</sub>

VIII-5322

1972.

9938e Spin-lattice relaxation of Mo<sup>5+</sup> ions in lanthanum niobate single crystals. Kurkin, I. N.; Chirkin, Yu. K.; Shlenkin, V. I. (Kazan. Gos. Univ. im. Ul'yanova-Lenina, Kazan, USSR). *Fiz. Tverd. Tela (Leningrad)* 1972, 14(9), 2719-23 (Russ). Spin-lattice relaxation times of Mo<sup>5+</sup> in single cryst. LaNbO<sub>4</sub> were measured at 9 and 15 GHz between 1.5 and 250°K. From the temp. dependence of the probability of the Raman process the Debye temp. ( $\Theta = 210^{\circ}\text{K}$ ) was detd. for the LaNbO<sub>4</sub> crystal.

A. Libackyj

(Probedar)

C. A. 1973. 78. N2.

V-Sc, V-Y, V-Pr, V-Nd, V-Ho,  
V-La, V-Ce, V-Sm, V-Gd, V-Er, Nb-Sc,  
Nb-La, Nb-Ce, Nb-Sm, Pb-La, Pb-Sm  
(груп. гранат., Тт2)

Савицкий Е.М., Ефремов И.В.

Рекогнит. минерал., сплавы и соедин.  
материалов №<sup>20</sup>, собр. 1972/1981/1973  
310-316 Ак

*LaNbO<sub>7</sub>*

*Nb<sub>2</sub>O<sub>7</sub>*

*SmNbO<sub>7</sub>*

*T<sub>t2</sub>*

165378c Polymorphism of lanthanide niobium oxides ( $\text{Ln}_2\text{NbO}_7$ ). Tilloca, G.; Perez y Jorba, Mrs. M.; Traverse, J. P.; Coutures, Mrs. J. (Lab. Chim. Appl. Etat Solide, Vitry-sur-Seine, Fr.). *Colloq. Int. Cent. Nat. Rech. Sci.* 1972, No. 205, 369-73 (Fr). The sys. in  $\alpha\text{-Nb}_2\text{O}_5\text{-Ln}_2\text{O}_3$ , where  $\text{Ln} = \text{La}, \dots, \text{Dy}$ , shows compds. of formula  $\text{Ln}_3\text{NbO}_7$ , which exhibit several polymorphic modifications according to the nature of  $\text{Ln}$ . When  $\text{Ln} = \text{La}, \text{Nd}, \text{Sm}$ , the structure of the corresponding compds. is orthorhombic, space group *Pnam*, at  $1300^\circ$ ; above this temp. a cubic structure of the fluorite-type appears near the m.p., after an intermediate state, probably monoclinic. When  $\text{Ln} = \text{Eu}, \text{Gd}$ , only the monoclinic and the cubic modifications exist between  $1300^\circ$  and the m.p. ( $\sim 1800^\circ$ ). Finally, beyond Dy, only the cubic fluorite-type form exists in the whole range of temps. The  $\text{Ln}_3\text{NbO}_7$  compds. in their monoclinic and orthorhombic modifications are stoichiometric. On the contrary, the cubic fluorite-type form shows a range of homogeneity by dissoln. of  $\text{Ln}_2\text{O}_3$ .

1972  
11/11 - 5661

C.A. 1973. 28: N260

(7) 18

LaNb<sub>3</sub>O<sub>9</sub>

1975

22 B8. Новая модификация LaNb<sub>3</sub>O<sub>9</sub>. Sturm J.,  
Gruehn R. Altmann R. Eine neue LaNb<sub>3</sub>O<sub>9</sub>-Modifi-  
kation. «Naturwissenschaften», 1975, 62, № 6, 296—297  
(нем.)

Осаждением из газ. фазы при помощи транспортной  
р-ции, к-рая происходит в присутствии Cl<sub>2</sub> (P=1 атм)

парац.  
прессетка при 20°, при т-рах нагретой и охлажденной зон 1100  
и 1000° соотв. наряду с ромб. фазой LaNb<sub>3</sub>O<sub>9</sub> (I)  
(структурой перовскита) выделена монокл. модифика-  
ция I в виде бесцв. прозрачных пластинок. Проведено  
рентгеноструктурное исследование монокл. I. Парамет-  
ры элементарной ячейки монокл. I: a 5,437, b 7,664,  
c 16,323 Å, β 92,198, ρ(выч.) 5,49, Z=4, ф. гр. P2<sub>1</sub>/c.  
Структура монокл. I представлена слоями Nb—O—  
октаэдров, к-рые связаны через вершины октаэдров.  
Внутри слоя каждые два Nb—O—октаэдра соединены  
ребрами, а третий октаэдр связан через вершины с

X. 1975 № 22

четырьмя соседними сдвоенными группами октаэдров. В каналах между Nb—O-октаэдрами (направление [010]) находится  $\text{La}^{+3}$ , к-рый имеет тригон.-призматич. O-окружение с двумя доп. соседними атомами O. Наряду с известной фазой  $\text{La}_{1/3}\text{TaO}_3$  (II) (структура пегровскита) получена новая гексагон. фаза II, к-рая при нагревании переходит в еще одну новую модификацию II.

Н. А. Велешко

*La<sub>3</sub>NbO<sub>7</sub>* ВР -1575- XVIII

1976

10 Б719. Физико-химическое исследование редкоземельных ниобатов типа  $Ln_3NbO_7$ . Федоров Н. Ф., Мельникова О. В., Смородина Т. П. «Изв. высш. учеб. заведений. Химия и хим. технол.», 1976, 19, № 11, 1658—1662

Методом твердофазового спекания с последующей закалкой образцов синтезированы различные полиморфные модификации  $Ln_3NbO_7$  (где  $Ln = La, Nd, Sm, Gd, Tb, Dy, Er, Yb$ ) и изучены нек-рые их св-ва (параметры элементарных) ячеек, плотности, число формульных единиц в элементарной ячейке, коэф. светопреломления и т. пл. Изучена закономерность фазовых превращений. Установлено наличие высокотройной тетрагон. модификации, свойственной  $La_3NbO_7$  и  $Nd_3NbO_7$ .

Резюме

(Tm)

17/18



70, 1977, N10

$\text{La}_3\text{NbO}_7$

BOP - 1575-XVIII

1976

J 86: 64018v Physicochemical study of  $\text{Ln}_3\text{NbO}_7$ -type rare earth niobates. Fedorov, N. F.; Mel'nikova, O. V.; Smorodina, T. P. (Leningr. Tekhnol. Inst., Leningrad, USSR). *Izv. Vyssh. Uchebn. Zaved., Khim. Khim. Tekhnol.* 1976, 19(11), 1658-62 (Russ). The crystal structures, phase-transition temps., indices of refraction, and m.ps. of  $\text{Ln}_3\text{NbO}_7$ , where Ln is La, Nd, Sm, Gd, Tb, Dy, Er, Eu or Yb, were detd. The high-temp. cubic phase has the fluorite structure. At  $1500^\circ$   $\text{Sm}_3\text{NbO}_7$  transforms from the rhombic to a monoclinic phase while  $\text{La}_3\text{NbO}_7$  and  $\text{Nd}_3\text{NbO}_7$  undergo this transformation near their m.ps. The structures are described and the relations between the different phases are given.

Tm, Ttr

C.H. 1977. 86. N10



(79)

17

1976

*LaNbO<sub>4</sub>*  
*La<sub>3</sub>NbO<sub>7</sub>*

ЗБ741. Термодинамика реакций в твердых фазах между окислами р. з. э. и Nb<sub>2</sub>O<sub>5</sub>. Глушкова В. Б., Панова Т. И., Келер Э. К., Федоров Н. Ф. «Изв. АН СССР. Неорган. материалы», 1976, 12, № 9, 1596—1599

*ΔHf, ΔGf*

Проведен расчет т-рной зависимости теплоемкостей ниобатов РЗЭ по методу, предложенному Н. А. Ландия. Метод позволяет учитывать монокл.-тетрагон. полиморф. превращение ортониобатов РЗЭ. Энталпии образования ниобатов типа LnNbO<sub>4</sub> и Ln<sub>3</sub>NbO<sub>7</sub> определены экспериментально калориметрич. методом, а ниобатов РЗЭ, богатых окисью ниobia, оценены по методу изокомпонент. На основании полученных данных выведены ур-ния т-рной зависимости изменения свободной энергии р-ций образования ортониобатов La, Ce, Dy, Ho и Er, а также ниобатов La, богатых окисью ниobia. Анализ результатов, полученных при термодинамич. расчетах и изучение процессов диффузии в системах Ln<sub>2</sub>O<sub>3</sub>—Nb<sub>2</sub>O<sub>5</sub> позволили не только определить области устойчивости тех или иных соединений, но и сделать заключение о последовательности образования фаз в процессе синтеза, к-рое совпадает с эксперим. исследованиями по взаимодействию окислов, проведенными ранее.

Автореферат

(74)

☒

X, 1977. ✓ 3

$\text{La}_3\text{NbO}_7$

1976

$\text{La}_3\text{Nb}_3\text{O}_9$ ;  $\text{La}_3\text{Nb}_5\text{O}_{14}$

$\text{LaNbO}_4$

J 86: 61345p Thermodynamics of reactions in solid phases between rare earth element oxides and niobium(V) oxide. Glushkova, V. B.; Panova, T. I.; Keler, E. K.; Fedorov, N. F. (Inst. Khim. Silik. im. Grebenshchikova, Leningrad, USSR). *Izv. Akad. Nauk SSSR, Neorg. Mater.* 1976, 12(9), 1596-9 (Russ). Temp. dependence of heat capacities ( $C_p$ ) of lanthanide niobates ( $\text{LnNbO}_4$ ) and  $\text{La}_3\text{NbO}_7$ ,  $\text{La}_3\text{Nb}_3\text{O}_9$ , and  $\text{LaNb}_5\text{O}_{14}$  was detd. by a method which considers polymorphism of the compds. (N. A. Landiya, 1951; 1962). The coeffs. of temp. dependence of

$C_p$  and enthalpy of monoclinic  $\rightarrow$  tetragonal phase transitions are tabulated for  $\text{LnNbO}_4$  having  $\text{Ln} = \text{La}, \text{Ce}, \text{Dy}, \text{Ho}$ , and  $\text{Er}$ . The std. formation enthalpies of all investigated niobates are given.

( $C_p$ ,  $\Delta H_T$ ,  
 $\Delta H_f$ )

(+4)

☒

C.A. 1977 86 N10

La NbO<sub>4</sub>

1976

85: 183028n Enthalpies of formation of rare earth element niobates. Glushkova, V. B.; Panova, T. I.; Fedorov, N. F.; Keler, E. K. (Inst. Khim. Silik. im. Grebenshchikova, Leningrad, USSR). *Izv. Akad. Nauk SSSR, Neorg. Mater.* 1976, 12(7), 1258-61 (Russ). The enthalpies of formation were detd. by a calorimetric method of the rare earth niobates  $\text{LnNbO}_4$  ( $\text{Ln} = \text{La, Ce, Pr, Nd, Dy, Ho, Er}$ ),  $\text{Ln}_2\text{NbO}_7$  ( $\text{Ln} = \text{La, Nd, Er}$ ),  $\text{LnNb}_3\text{O}_9$  ( $\text{Ln} = \text{La, Nd, Er}$ ) and  $\text{LnNb}_5\text{O}_{14}$  ( $\text{Ln} = \text{La, Nd}$ ).

(AHf)

⑦6 11



C.A. 1976. 85N24

1976

LaNb<sub>3</sub>O<sub>9</sub>

1 Б747. Энталпии образования ниобатов редкоземельных элементов. Глушкова В. Б., Панова Т. И., Федоров Н. Ф., Келлер Э. К. «Изв. АН СССР. Неорг. материалы», 1976, 12, № 7, 1258—1261

В калориметрич. бомбе при  $p_{O_2} = 25$  атм измерены энталпии сгорания металлич. ниobia и смесей ниobia с окислами РЗЭ в соотношениях, необходимых для получения ниобатов типа  $LnNbO_4$  и  $Ln_3NbO_7$ . Вычислены станд. энталпии образования из простых в-в  $Nb_2O_5$  ( $-455 \pm 1$  ккал/моль) и ниобатов РЗЭ. Для  $LnNbO_4$  величины  $-\Delta H^\circ_{обр}$  (ккал/моль) составили La 460,4, Ce 460,6, Pr 463,7, Nd 461,6, Dy 464,4, Ho 465,7, Er 467,3; для  $Ln_3NbO_7$   $-\Delta H^\circ_{обр}$  равны 895,0; 898,0 и 925 для Ln=La, Nd и Er соотв. Оценка энталпий образования соединений  $LaNb_3O_9$ ,  $NdB_3O_9$ ,  $ErNb_3O_9$ ,  $LaNb_5O_{14}$  и  $NdNb_5O_{14}$  была произведена методом изоатом Шукарева и получены величины —910, —911, —919, —1366 и —1366 ккал/моль соответственно.

П. М. Чукров

x 1977 N 1

(+) 4

X

*LaNb<sub>3</sub>O<sub>14</sub>*

*1976*

9 Е875. О полиморфизме LaNb<sub>3</sub>O<sub>14</sub>. Лыкова Л. Н.,  
Трунов В. К. «Ж. неорган. химии», 1976, 21, № 6,  
1630—1631

Установлен полиморфизм соединения LaNb<sub>5</sub>O<sub>14</sub> и  
представлены рентгенометрич. данные и периоды решет-  
ки для проиндексированного набора отражений. Резюме

*Полиморф-  
формы.*

*Ф. 1976 № 9*

*La Nb<sub>5</sub>O<sub>14</sub>*

1976

85: 71066s Polymorphism of lanthanum niobium oxide (LaNb<sub>5</sub>O<sub>14</sub>). Lykova, L. N.; Trunov, V. K. (Mosk. Gos. Univ. im. Lomonosova, Moscow, USSR). *Zh. Neorg. Khim.* 1976, 21(6), 1630-1 (Russ). The structure of the  $\alpha$ -form of LaNb<sub>5</sub>O<sub>14</sub> which transforms into the  $\beta$ -form on cooling to 1210° was detd. by x-ray diffraction. The structure was solved and refined with the program Nairi-2. The crystals are isostructural with LaTa<sub>2</sub>O<sub>14</sub> with  $a$  17.55(1),  $b$  16.92(1), and  $c$  3.893(12) Å.

(Ttr)

C.A. 1976-85 n 10

LaNbO<sub>4</sub>

ВР - 1718 - XVIII

1977

YNbO<sub>4</sub>

17 Б502. Ферроэластичность в редкоземельных ниобатах типа  $\text{LnNbO}_4$ . Brixner L. H., Whitney J. F., Zumsteg F. C., Jones G. A. Ferroelasticity in the  $\text{LnNbO}_4$ -type rare earth niobates. «Mater. Res. Bull.», 1977, 12, № 1, 17—24 (англ.)

Отжигом при  $1200^\circ$  в течение 10—14 час и далее — при  $1400^\circ$ , 4—6 час. на воздухе получены  $\text{LnNbO}_4$  ( $\text{Ln} = \text{La}$  (I),  $\text{Y}$  (II)). Монокристаллы I плавятся выше  $1875^\circ$ , прозрачны в УФ до 275 нм и имеют показатель преломления 2,06. У кристаллов I обнаружена доменная структура, соотв-щая переходу  $4/m \rightarrow 2m$  (коми. т-ра). Центросимметричность низкот-рной формы доказана отсутствием сигнала генерации 2-й гармоники Nd-лазера ( $1,06 \text{ Mm}$ ). Заметное нарушение Пв связано с ферроэластичностью  $\text{LnNbO}_4$ . Методом высокот-рной рентгенографии изучены I и II, к-рые при коми. т-ре  $25^\circ$  имеют параметры решеток: I  $a = 5,5654$ ,  $b = 11,5220$ ,  $c = 5,2039 \text{ \AA}$ ,  $\beta = 94,086^\circ$ ,  $\rho$  (выч.) 5,902; II  $a = 2,2419$ ,  $b = 10,8401$ ,  $c = 5,0445 \text{ \AA}$ ,  $\beta = 94,490^\circ$ ,  $\rho$  (выч.) 7,666,  $Z = 4$ .

$T_m$ ;  $T_{c7}$

(+1)

н. 1977 н 17.

ф. гр. I 2/c. При высоких т-рах они имеют шеелитные тетрагон. структуры: I  $a = 5,401$ ,  $c = 11,681 \text{ \AA}$ ,  $\rho$  (выч.) 5,73 ( $500^\circ$ ), II  $a = 5,173$ ,  $c = 10,951 \text{ \AA}$ ,  $\rho$  (выч.) 7,47 ( $850^\circ$ ),  $Z=4$ , ф. гр. I 4<sub>1</sub>/a. Приведены таблицы индицирования порошкограмм обеих форм II. Превращение  $2/m \rightarrow 4/m$  типа смещения завершается около  $825^\circ$  у II и  $470^\circ$  у I. Этот переход сопровождается настолько слабым тепловым эффектом, что ни ДТА, ни ДСК не чувствительны к нему. Аналогичные переходы имеются у всех  $\text{LnNbO}_4$ .

В. А. Ефремов

*LaNb<sub>3</sub>O<sub>9</sub>* 1977

11 В10. Синтез и исследование метаниобатов редкоземельных элементов. Федоров Н. Ф., Мельникова О. В., Смородина Т. П. «Изв. АН СССР. Неорганические материалы», 1977, 13, № 1, 146—148

Спеканием стехиометрич. кол-в  $\text{Ln}_2\text{O}_3$  и  $\text{Nb}_2\text{O}_5$  при 1200 и 1300° синтезированы соединения  $\text{LnNb}_3\text{O}_9$ , где  $\text{Ln} = \text{La}$  (I),  $\text{Ce}$  (II),  $\text{Pr}$  (III) и  $\text{Nd}$  (IV). Определены некоторые физ.-хим. св-ва I—IV, в том числе плотность, т-ра пл., показатели светопреломления, коэф. термич. расширения. По результатам кристаллооптич. анализа, I—IV мономинеральны, по данным рентгеновского — изоструктурны. I—IV кристаллизуются в структурном типе первовскита с ромбич. искажением, на что указывает чёткое расщепление линий с индексами  $(hkl)$  и  $(khl)$ . Характер рентгенограмм качания и вращения для монокристалла при вращении вокруг двух направлений, параллельных  $a$  и  $b$ , не противоречил ромбич. сингонии, выявленной для III порошковым методом. Рассчитанные параметры элементарных ячеек закономерно уменьшаются от I к IV. Характер плавления I—IV — конгруэнтный при плавлении в воздушной среде или Ar, но в пламени электрич. дуги и в вакууме в расплаве II—IV появляются ортониобаты в тетрагональной модификации. Хим. стойкость I—IV очень высока и

*Синтез*

*Tm*

(73)

||

X.1977. N 11

ВР2 - 15669 - XVIII

увеличивается от I к IV. Светопреломление I—IV по значению коэф.  $N_g$  и  $N_p$  близко, двупреломление слабое и понижается с уменьшением радиуса лантаноида. Микротвёрдость I—IV в интервале 470—720 кг/мм<sup>2</sup> повышается с увеличением порядкового номера лантаноида.

М. А. Шелякин<sup>2</sup>

из  
ероят  
обра-

$\text{LaNb}_3\text{O}_9$

$\text{PrNb}_3\text{O}_9$

$\text{CeNb}_3\text{O}_9$

$\text{NdNb}_3\text{O}_9$

BP-1569-XVIII

1977

136: 100090y Synthesis and study of rare earth element metaniobates. Fedorov, N. F.; Mel'nikova, O. V.; Smoredina, T. P. (USSR). Izv. Akad. Nauk SSSR, Neorg. Mater. 1977, 13(1), 146-8 (Russ).  $\text{LnNb}_3\text{O}_9$  ( $\text{Ln} = \text{La-Nd}$ ) were prep'd. by the solid-phase caking of the oxides.  $\text{LnNb}_3\text{O}_9$  are orthorhombic, with a perovskite type structure. The lattice parameters,  $n$  values,  $d_s$ , microhardness, and m.ps. are given for  $\text{LnNb}_3\text{O}_9$ .

(Tm)

⑦318

C.S. 1977. 86. 14

*LaNbO<sub>4</sub>*  
*NdNbO<sub>4</sub>*

(Tet)

⊗ (+)

X. 1977  
№ 23

② 23 Б558. Рост и свойства монокристаллов LaNbO<sub>4</sub> и NdNbO<sub>4</sub>. Takei H., Tsunekawa S. Growth and properties of LaNbO<sub>4</sub> and NdNbO<sub>4</sub> single crystals. «J. Cryst. Growth», 1977, 38, № 1, 55—60 (англ.)

1977

Крупные монокристаллы LaNbO<sub>4</sub> (I) и NdNbO<sub>4</sub> (II) диам. 20 мм и длиной 120 мм выращены по методу Чохральского в токе азота. Направление роста [100] и [001] (в тетрагон. псевдоячейке), скорость вытягивания 4 мм/час, скорость вращения 20 об/мин, кристаллы охлаждались до коми. т-ры со скоростью 120 град/час. Показано, что кристаллы I и II по составу близки к стехиометрич., относятся к структурному типу искаженного шеелита с параметрами монокл. решетки:  $a$  5,559,  $b$  11,51,  $c$  5,195 Å,  $\beta$  94°18' для I и  $a$  5,464,  $b$  11,27,  $c$  5,142 Å,  $\beta$  94°31' для II, т. пл. I 1670 ± 20°, II 1810 ± 20°. В кристаллах часто наблюдаются двойники с плоскостью двойникования (201) и (102). С помощью дилатометрич. и оптич. методов изучены фазовые переходы в I и II. Установлено, что т-ра полиморфного перехода из монокл. модификации в тетрагон. составляет 495 ± 5° и 725 ± 5° для I и II соотв. Предполагается образование промежут. фазы при полиморфном переходе.

Л. С. Гарашина

Лан<sup>и</sup>В<sub>2</sub>O<sub>3</sub>

1979

4 Б901. Исследование фазовой диаграммы системы  
LiVO<sub>3</sub>—LiNbO<sub>3</sub>. Мадоян Р. С., Саркисян Г. Н.,  
Петросян Ю. Г., Хачатуров О. А. «Ж. неорган.  
химии», 1979, 24, № 11, 3088—3090

Методами ДТА, ВПА, РФА, МРСА исследована си-  
стема LiVO<sub>3</sub>—LiNbO<sub>3</sub> и построена ее диаграмма состоя-  
ния. Система относится к эвтектич. типу с идеальной  
р-римостью компонентов системы в расплаве ( $t_{\text{эвт}} =$   
 $= 570 \pm 5^\circ$ ); состав эвтектики соответствует ~6—  
7 мол. % LiNbO<sub>3</sub>. Вычислена теплота плавления ниоба-  
та лития, равная 13,2 ккал/моль. Определены условия  
выращивания монокрист. плёнок ниобата лития мето-  
дом жидкофазной эпитаксии.

Резюме

21680, № 4

1940

LaNbO<sub>4</sub>

92: 49641y Raman scattering and fluorescence spectra of lanthanum niobium oxide. Wada, Mitsuo; Nakayama, Yoshinori; Sawada, Akitatsu; Tsunekawa, Shin; Ishibashi, Yoshihiro (Fac. Eng., Nagoya Univ., Nagoya, Japan 464). *J. Phys. Soc. Jpn.* 1979, 47(5), 1575-80 (Eng). The Raman and fluorescence spectra of LaNbO<sub>4</sub> were obsd. in the temp. range 15-650° with excitation light of various wavelengths. The lowest frequency phonon mode shows anomalous temp. dependence around a ferroelastic phase transition point  $T_c = 495^\circ$  and splitting of the degenerate phonon modes was obsd. below  $T_c$ . These results are discussed, using a Landau-type free energy. In addn. to the phonon modes, 3 fluorescence lines were obsd. at 20,525 cm<sup>-1</sup>, 20,460 cm<sup>-1</sup> and 20,427 cm<sup>-1</sup>. The intensity of these lines decreases exponentially as the temp. increases. These

fluorescence lines seem to be due to lanthanide ions contained in the crystal as impurities.

C. A. 1980.92, N6

1980

$\text{LaNb}_5\text{O}_{14}$

1 Б446. Выращивание и свойства кристаллов  
 $\text{LaNb}_5\text{O}_{14}$ . Мурашов В. А., Евдокимов А. А.,  
Фролов А. М., Трунов В. К. «6-я Междунар. конф.  
по росту кристаллов, Москва, 1980. Расш. тез. Т. 3.  
Рост из расплавов и высокотемператур растворов. Ме-  
тоды, материалы». М., 1980, 114

Кристаллы  $\text{LaNb}_5\text{O}_{14}$  (I) получены методом Чохраль-  
ского на установке «Донец-1» с индукц. нагревом. За-  
травочные кристаллы выращены кристаллизацией на  
Pt-проводолоку. Дальнейший рост кристаллов проводили  
в направлении [010]. Скорость роста 3 мм/ч, скорость  
вращения 30 об/мин, осевой градиент 150 град/см.  
Кристаллы отжигали в течение 2—3 ч при т-ре 1250—  
1280°, после чего охлаждали со скоростью 45 град/час.  
Получены прозрачные, бесцв. кристаллы диам. 4 мм и

Бесцветные  
и ёж-ва  
кристаллы

X. 1981 № 1

длиной 30 мм. Выращивание кристаллов большего диам. осложняется наличием у I совершенной спайности по [001] и [010] и полиморфного превращения. С последним связана и склонность кристаллов к двойникованию. Монокрист. пластины размером  $15 \times 10 \times 5$  мм получали при медленном охлаждении затравочного кристалла в контакте с расплавом и последующим извлечением их из закристаллизованной щихты. И. Л. Ф.

*La<sub>3</sub>NbO<sub>7</sub>*

1980

№ 20 Б573. Синтез и выращивание кристаллов La<sub>3</sub>NbO<sub>7</sub>. Peshev P., Khrusanova M. Synthesis and crystal growing of La<sub>3</sub>NbO<sub>7</sub>. «Mater Res. Bull.», 1980, 15, № 2, 195—200 (англ.).

*система*  
*(Tm)*

Синтезированы кристаллы La<sub>3</sub>NbO<sub>7</sub> (I) при т-рах, значительно более низких по сравнению с обычной технологией изготовления керамики. Из смеси р-ров NbCl<sub>5</sub> в этиловом спирте и La(NO<sub>3</sub>)<sub>3</sub> с аммиаком (1 : 1) получен аморф. осадок из La(OH)<sub>3</sub> и Nb<sub>2</sub>O<sub>5</sub>·xH<sub>2</sub>O с не-значит. примесью продуктов их взаимодействия. На кривой ДТА смеси гидроокисей имелись 3 эндотермич. и 2 экзотермич. максимума. Приведены зависимости степени взаимодействия смеси гидроокисей от т-ры (250—900°) и времени термообработки (до 4 ч). Показано, что I плавится конгруэнтно ~1800°. Выращивание монокристаллов I проведено методом Бриджмена при скоростях 4 мм/ч. Кристаллы, выращенные в слабовосстановительной или нейтр. средах, были темные и непрозрачные из-за недостатка кислорода, после короткого отжига в атмосфере кислорода при 1500° становились бесцв. и прозрачными.

В. И. Муратова

*рдк № 20*

LaNbO<sub>4</sub>  
NdNbO<sub>4</sub>

XVIII-7068

1980

(T<sub>tr</sub>)

(+)

X. 1980 № 2/

21 Б392. Определение симметрии для устойчивых при комнатной температуре модификаций LnNbO<sub>4</sub> (Ln=La, Nd) по данным дифракции электронов в сходящемся пучке. Tanaka M., Saito R., Watanabe D. Symmetry determination of the room-temperature form of LnNbO<sub>4</sub> (Ln=La, Nd) by convergent-beam electron diffraction. «Acta crystallogr.», 1980, A36, № 3, 350—352 (англ.)

Для низкот-рных модификаций LnNbO<sub>4</sub> (Ln=La, Nd), устойчивых вплоть до т-ры 768 К (выше к-рой происходит фазовый переход сначала в промежут. и затем в высокот-рную тетрагон. с ф. гр.  $I\bar{4}1/a$  фазу) в лит-ре имеются противоречивые данные относительно симметрии: различные авторы приводят для этих соединений ф. гр.  $C2/c$ ,  $C2$  и  $Cc$ . С использованием дифракции электронов в сходящемся пучке (светлопольные и темн. опольные картины) для этих соединений однозначно установлена ф. гр.  $C2/c$  (точечная симметрия  $2/m$ ). С. В. Соболева

1981

*LaNbO<sub>4</sub>*

7 Е502. Фазовый переход фергюсонит—шеслит и спектры КР кристалла  $\text{LaNbO}_4$  и твердого раствора  $(\text{CaWO}_4)_{1-x}(\text{LaNbO}_4)_x$ . Афаньева Г. В., Коровкин А. М., Кудрявцев А. Б., Купчиков А. К., Рыскин А. И., Соболь А. А. «Физ. тверд. тела», 1981, 23, № 4, 1079—1086

Исследованы спектры комбинационного рассеяния ферроэластика  $\text{LaNbO}_4$  в диапазоне  $T$ -р 300—1800 К. Обнаружена значительная чувствительность к температуре, а также к гидростатич. сжатию кристаллов оптич. колебаний той же симметрии (в парапрелюпной фазе), что и мягкая акустич. мода, ответственная за фазовый переход фергюсонит—шеслит, происходящий при  $T_c = 495^\circ\text{C}$ . При этом в ферроупругой фазе наблюдается как «смягчение», так и «ужесточение» соответствующих оптич. колебаний. Аномально высокую чувствительность обнаруживают эти моды и к изменению состава в ряду твердых растворов  $\text{CaWO}_4$  (структура шеслита) —  $\text{LaNbO}_4$  (структура фергюсонита). Указанныя чувствительность интерпретируется в рамках квазигармонич. приближения.

Резюме

(Tr)

2/1981. N 7

*LaNbO<sub>4</sub>*

*1981*

15 Б985. Фазовый переход фургюсонит — шеелит и спектры КР кристалла  $\text{LaNbO}_4$  и твердого раствора  $(\text{CaWO}_4)_{1-x}(\text{LaNbO}_4)_x$ . Ананьева Г. В., Коровкин А. М., Кудрявцев А. Б., Купчиков А. К., Рыскин А. И., Соболь А. А. «Физ. тверд. тела», 1981, 23, № 4, 1079—1086

*Ttr*

Исследованы спектры КР ферроэластика  $\text{LaNbO}_4$  в диапазоне т-р 300—1800 К. Обнаружена значительная чувствительность к т-ре, а также к гидростатич. сжатию кристаллов оптич. колебаний той же симметрии (в параллельной фазе), что и мягкая акустич. мода, ответствен-

ная за фазовый переход фургюсонит — шеелит, проходящий при  $T_c = 495^\circ \text{C}$ . При этом в ферроупругой фазе наблюдается как «смягчение», так и «ужесточение» соотв-щих оптич. колебаний. Аномально высокую чувствительность обнаруживают эти моды и к изменению состава в ряду тв. р-ров  $\text{CaWO}_4$  (структура шеелита) —  $\text{LaNbO}_4$  (структура фургюсонита). Указанная чувствительность интерпретируется в рамках квазигармонии приближения.

Резюме

*2. 1981. 115*

*LaNbO<sub>4</sub>*

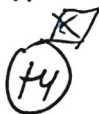
1982

○ 11 Б407. Уточнение кристаллической структуры фергюсонита. Кинжабало Л. Н., Трунов В. К., Евдокимов А. А., Кронгауз В. Г. «Кристаллография», 1982, 27, № 1, 43—48

Изучены структуры соединений  $T\bar{R}NbO_4$  для  $\bar{T}\bar{R}=La$ ,  $Sm$ ,  $Gd$ ,  $Ho$ ,  $Yb$  (анизотропный МНК,  $R=0,041$ ;  $0,040$ ;  $0,031$ ;  $0,034$ ;  $0,030$ , соотв.). Показано, что координац. полиэдр атома Nb—4+2 атома O, РЗЭ—додекаэдр. Рассмотрена взаимосвязь межатомных расстояний и величины ионного радиуса РЗЭ.

Резюме

*Кристал.  
Структура*



*SmNbO<sub>4</sub>, GdNbO<sub>4</sub>, HoNbO<sub>4</sub>, YbNbO<sub>4</sub>*

X. 1982, 19, N 11.

*LnNbO<sub>4</sub>*

1982

*Ln = Sm, Gd,  
Ho, Yb*

*Структура*

19 Б354. Изменение структур  $\text{LnNbO}_4$  по ряду лантаноидов. Трунов В. К., Кинжикало Л. Н. «Докл. АН СССР», 1982, 263, № 2, 348—351

Исследованы кристаллы  $\text{LnNbO}_4$  ( $\text{Ln} = \text{La, Sm, Gd, Ho, Yb}$ ), полученные при  $T = 1250^\circ$  (дифрактометр,  $\lambda\text{Mo}$ ). Показано, что при переходе к более тяжелым лантаноидам уменьшается степень искаженности шестивершинников  $\text{NbO}_6$  и увеличивается искаженность  $\text{Ln}$ -полиэдров. Рассмотрено изменение т-ры полиморфного превращения в зависимости от изменения расстояния  $\text{Nb}-\text{O}$  по ряду  $\text{LnNbO}_4$ .

И. П. Ф.

(+3)  $\otimes$

X. 1982, 19, N 19.



*~~SmNbO<sub>4</sub>~~, GdNbO<sub>4</sub>,  
HoNbO<sub>4</sub>, YbNbO<sub>4</sub>*

*LaNb<sub>2</sub>O<sub>6</sub>Cl*

1983

21 Б434. LaNb<sub>2</sub>O<sub>6</sub>Cl: новый галоген-ниобат лантана.  
LaNb<sub>2</sub>O<sub>6</sub>Cl: a new lanthanum halo niobate. Calabrese J. C., Brighner L. H., Foris C. M. «J. Solid State Chem.», 1983, 48, № 1, 142—145 (англ.)

Рентгенографически определена структура (методы порошка и монокристалла, дифрактометр, анизотропный МНК,  $R = 1,9\%$  для (768 отражений) кристаллов LaNb<sub>2</sub>O<sub>6</sub>Cl. Параметры ромбич. решетки:  $a = 9,752$ ,  $b = 7,306$ ,  $c = 8,365 \text{ \AA}$ ,  $\rho$  (выч.) 5,097,  $Z = 4$ , пр. гр.  $Pnma$ . В координац. окружение атомов La входит 6 атомов O и 2 атома Cl, располагающихся по вершинам пентагона. бипирамиды с одной дополнительной вершиной

*Структура*

X-1983, 19, N21

(La—O 2,340—2,655, La—Cl 2,911, 2,956 Å). Атомы Nb находятся в 2 типах октаэдрич. координации — из 6 атомов O (Nb—O 1,938—1,990) и из 5 атомов O и атома Cl, причем межатомное расстояние между Nb и атомом O, находящимся в транс-положении по отношению к атому Cl (Nb—O 1,757, Nb—Cl 2,819 Å) является существенно короче остальных расстояний Nb—O 1,986; 1,997 Å). Октаэдры NbO<sub>6</sub> соединяются вершинами в цепи, связанные далее за счет общих вершин с октаэдрами NbO<sub>5</sub>Cl в 3-мерный каркас, в пустотах к-рого располагаются атомы La. При этом координац. многогранники вокруг La имеют общие разделенные ребра O—O с октаэдрами NbO<sub>5</sub>Cl. Приведены значения  $I$ ,  $d(hkl)$  рентгенограммы порошка.

С. В. Соболева

*LaNbO<sub>4</sub>*

*1983*

) 1 E918. Высокотемпературная паразластическая структура LaNbO<sub>4</sub>. The high-temperature paraelastic structure of LaNbO<sub>4</sub>. David W. I. F. «Mater. Res. Bull.», 1983, 18, № 6, 749—756 (англ.)

Нейтронографическим методом установлено, что LaNbO<sub>4</sub> при т-рах 500 и 530° С ( $(R(F^2)) = 0,074$ ) имеет структуру типа шеелита (пр. гр.  $I4_1/a$ ), изоструктурную с BiVO<sub>4</sub> и характеризующуюся в отличие от последнего более сильным взаимодействием Nb<sup>5+</sup> с O<sup>2-</sup>, приводящим к почти правильной тетраэдрич. координации Nb<sup>5+</sup> по отношению к O<sup>2-</sup>. Эти данные позволяют предположить, что структурный механизм фазового перехода 2-го рода в сегнетоэластич. состояние при 495° С связан с изменением координации Nb<sup>5+</sup> на октаэдрическую.

С. П. Соловьев

*ф. 1984, 18, № 1*

*LaNbO<sub>4</sub>*

*1983*

10 Б859. Определение температурной зависимости молярной теплоемкости  $C_m(T, p_{atm})$  LaNbO<sub>4</sub>. Stanovenie teplotnej závislosti mólovej tepelnej kapacity  $C_m(T, p_{atm})$  LaNbO<sub>4</sub>. Gluškova Viera B., Panova Tatjana I., Eliášová Mária, Proks Ivo. «Silikáty», 1983, 27, № 1, 69—72 (словац.; рез. рус., англ.)

Калориметрическим методом установлена т-рная зависимость молярной теплоемкости тетрагонального ниобата лантана LaNbO<sub>4</sub> в интервале 1592—1823 К, выражаемая уравнением  $C_m(T, p_{atm}) = \alpha + \beta T$ , где  $\alpha = 103,1$  Дж/моль·К,  $\beta = 5,06 \cdot 10^{-2}$  Дж/моль·К<sup>2</sup>. Из резюме

*(p;*

*20.1983, 19, N 10*

*LaNbO<sub>4</sub>*

*1983*

98: 205270h Determination of the temperature dependence of the molar heat capacity  $C_m(T, p_{atm})$  of lanthanum niobate ( $\text{LaNbO}_4$ ). Glushkova, V. B.; Panova, T. I.; Eliasova, Maria; Proks, Ivo (Inst. Chim. Silikatov Im. I. Grebenshchikova, 199164 Leningrad, USSR). *Silikaty (Prague)* 1983, 27(1), 69-72 (Slo). The temp. dependence of the isobaric molar heat capacity,  $C_p$  (J/mol. K), of tetragonal  $\text{LaNbO}_4$  [12031-17-3] at 1592-1823 K is  $C_p = 103.1 + 0.0506T$ .

K. Dusek

$(C_p)$

c. A. 1983, 98, N 24

LaNBO<sub>4</sub>

1984

Wood I.G.

T<sub>tr</sub>,

Z. Phys. C: Solid State  
Phys., 1984, 17, N21,  
L539 - L543.

(see BiVO<sub>4</sub>; I)

$\text{La}_x\text{Nb}_{1-x}\text{O}_4$

1984

$0 < x < 0.3$

Nevitt M.V.,  
Aldred A.T.,

G, Tr; ACS Symp. Ser. 1984,  
246, 315-21.

CA 1984, 100, N20, 16573a ?

165 773a

*LaNbO<sub>4</sub>*

*1985*

23 Б3201. Поведение  $\text{LaNbO}_4$  при высоком давлении.  
High-pressure behavior of  $\text{LaNbO}_4$ . Magiathasan J. W. E., Finger L. W., Hazen R. M. «Acta crystallogr.», 1985, B41, № 3, 179—184 (англ.)

При н. условиях, а также при ВД (гидростатич. давл.  $P=1,55$  и  $3,26$ ) ГПа определены крист. структура и параметры решетки монокристаллов  $\text{LaNbO}_4$  (I). Найдено, что I при н. условиях имеет искаженную структуру шеелита с параметрами решетки  $a = 5,5634$ ,  $b = 5,2030$ ,  $c = 11,5227$  Å,  $\gamma = 85^{\circ}917$ ,  $Z = 4$ , ф. гр.  $I2/a$ . В условиях ВД сжатие I анизотропно, причем с повышением давл. для I, в отличие от изоструктурного  $\text{BiVO}_4$ , возрастает монокл. искажение, связанное со структурными нестабильностями. Т-ра фазового перехода для I составляет  $T_c = 766$  К, линейно возрастаая с давл., причем  $dT_c/dP = 3,83$  К/0,1 ГПа.

В. В. Волков

X. 1985, 19, N 23.

*LaNbO<sub>4</sub>*

*OM. 22 418*

*1985*

104: 40786h Phonon properties of lanthanum niobate(V)  
(LaNbO<sub>4</sub>) deduced from heat capacity measurements. Nevitt,  
Michael V.; Knapp, Gordon S.; Grimsditch, Marcos H.; Chan,  
Saikit; Aldred, Anthony T. (Mater. Sci. Technol. Div., Argonne  
Natl. Lab., Argonne, IL 60439 USA). *High Temp. - High Pressures*  
1985, 17(2), 233-40 (Eng). In the use of heat capacity measurements  
to characterize features of the phonon spectrum, a convenient  
description can be made in terms of averaged properties, or  
moments, all of which combine to characterize the complete phonon  
spectrum, and each of which can be represented by a Debye temp.  
 $\Theta_D(n)$  which relates to a Debye phonon spectrum having the

$(\rho, \theta_D)$

*c.a. 1986, 104, N6*

corresponding  $n$ th moment of the actual spectrum. This approach was used to analyze the heat capacity of  $\text{LaNbO}_4$  [12031-17-3] at const. pressure,  $C_p$ , measured at  $4 \leq T \leq 400$  K.  $\Theta_D(-3)$ , The Debye temp. corresponding to the lowest-frequency modes, is 425 K;  $\Theta_D(2)$ , identified predominantly with the high-frequency modes, and  $\Theta_D(0)$ , assoed. with the geometric mean frequency of the complete spectrum, are 690 K and 550 K, resp. A small neg. slope in the linear  $\Theta_D(0)$  vs.  $T$  relation is attributed to the dilational contribution to  $C_p$ . These phonon characteristics are compared with those of  $\text{CaWO}_4$ , which is isostructural with the high-temp. (tetragonal) form of  $\text{LaNbO}_4$ .

*LaNbO<sub>4</sub>*

*1986*

6 Б3113. Сегнетоэластичные превращения в соединениях типа LaNbO<sub>4</sub>. Ferroelastic transformations in LaNbO<sub>4</sub>-type compounds / Nevitt M. V., Aldred A. T., Chan S.-K., Fisher E. S., Knapp G. S. // Thermophys. Prop.: Proc. 1st Asian Thermophys. Conf., Beijing, Apr. 21—24, 1986.— Beijing, 1986.— С. 756—761.— Англ.  
Место хранения ГПНТБ СССР

В диапазоне т-р 4—600 К методами РФА, ДСК (на поликрист. образцах) и УЗ-измерений (на монокристаллах при коми. т-ре) исследованы фазовые превращения системы LaNb<sub>1-x</sub>V<sub>x</sub>O<sub>4</sub> для  $0 \leq x \leq 0,25$ . Для  $x=0$  при  $T_c=770$  К наблюдается переход 2-го рода из низкот-рной монокл. фазы собственного сегнетоэластика в высокот-рную тетрагон. фазу. Методом РФА показано, что поведение спонтанной деформации в монокл. фазе близко к предсказаниям теории средн. поля, т. е. упру-

*(T<sub>c2</sub>)*

*X. 1989, № 6*

гие силы взаимодействия, к-рые генерируют спонтанное искажение ниже  $T_c$ , имеют дальний порядок. С увеличением  $x$   $T_c$  сильно падает ( $T_c=0$  при экстраполяции на  $x=0,3$ ). Нестабильности акустич. моды, к-рые являются движущей силой перехода из пара- в сегнето-эластич. состояние, наблюдаются выше и ниже  $T_c$ . Ниже 10 К в фоновом спектре доминируют акустич. моды.

В. А. Ступников

1ytic.

$\text{La}_3\text{Ba}_{5,5}\text{Nb}_{0,5}\text{O}_{14}$

1987

1987-126745x Lanthanum oxide-gallium oxide-silica, neodymium oxide-gallium oxide-silica, and lanthanum oxide-gallium oxide-niobium pentoxide systems. Khodzhabagyani, G. G.; Mill, I. V. (Mosk. Gos. Univ., Moscow, USSR). *Zh. Neorg. Khim.* 1987, 32, 444-8 (Russ.). X-ray anal. was used to study the phase relations in the title systems at 1200-1470°. The compds,  $\text{La}_3\text{GaSiO}_14$ , and  $\text{La}_3\text{Ga}_5\text{Nb}_{0,5}\text{O}_{14}$  are formed and, m. congruently at 130-1470°.

(Pm)

C. A. 1987, 106, N 16.

1988

La<sub>3</sub>NbO<sub>7</sub>

LaNb<sub>3</sub>O<sub>9</sub>

17m;

(4)

18 Б3107. Фазовые соотношения в системе La<sub>2</sub>O<sub>3</sub>—TiO<sub>2</sub>—Nb<sub>2</sub>O<sub>5</sub>. Диб М., Страхов В. И., Мельникова О. В., Кондратьева В. О. «Высокотемператур. химия силикатов и оксидов. Тез. докл. 6 Всес. совещ., Ленинград, 19—21 апр., 1988». Л., 1988, 128—129

Исследовано высокот-риое взаимодействие оксидов в системе La<sub>2</sub>O<sub>3</sub>—TiO<sub>2</sub>—Nb<sub>2</sub>O<sub>5</sub> путем изучения фазовых равновесий в ряде частных разрезов в интервале т-р 900—1400° С. Установлено, что формирование титано-ниобатных фаз из оксидов осуществляется через образование бинарных соединений, среди к-рых преобладают LaNbO<sub>4</sub> и La<sub>2</sub>Ti<sub>2</sub>O<sub>7</sub>. При установлении хим. равновесия в системе образуются тв. р-ры на основе La<sub>3</sub>NbO<sub>7</sub> (типа флюорита), LaNb<sub>3</sub>O<sub>9</sub> (типа перовскита) и LaTiNbO<sub>6</sub> (плавится инконгруэнтно при 1510±30° С). Большинство исследованных фаз отличаются повышенной тугоплавкостью (т. пл.>1600° С и высоким свето-преломлением.

По резюме

X. 1988, 19, N 18

LaN<sub>6</sub>O<sub>4</sub> (Om. 29506) 1988

Ishibashi Y., Karak.,  
Sawada A.,

T<sub>tr</sub> Physica, 1988, BC 150,  
N1-2, 258-264.

*LaNbO<sub>4</sub>*

*1989*

2 Е630. Спектры комбинационного рассеяния LaNbO<sub>4</sub> в сегнетоэластичекой фазе и релаксация кристалла после переключения ориентационного состояния. Raman spectra of LaNbO<sub>4</sub> in the ferroelastic phase and the relaxation after the state shift / Ishii K., Morita N., Nakayama H., Tsunekawa S., Fukuda T. // Phys. status solidi. A.— 1989.— 112, № 1.— С. 207—214.— Англ.; рез. нем.

В кристаллах LaNbO<sub>4</sub>, претерпевающих сегнетоэластический фазовый переход  $4/mF2/m$  при 768 К, процесс переключения доменов при низких т-рах приобретает псевдоупругий характер, т. е. переключенные под действием механич. напряжения участки кристалла сразу после разгрузки возвращаются в прежнее состояние. Проведено детальное исследование поляризованных

*Fz*

*ф. 1990, № 2*

спектров КРС при 90 К и 297 К, включающее идентификацию всех колебаний групп  $\text{NbO}_4^{3-}$ . Измерены спектры свежепереключенных областей в сравнении со спектрами релаксированного кристалла. Различие внутренних колебаний в этих двух состояниях весьма неизначительно, но особенности временной зависимости ширины одной из НЧ-полос можно приписать кооперативной релаксации атомных смещений в свежепереключенной области. Упомянутая полоса относится к моде, взаимодействующей с мягкой акустич. модой. А. Отко

1988

La<sub>3</sub>NbO<sub>7</sub>

LaNb<sub>3</sub>O<sub>9</sub>

18 Б3107. Фазовые соотношения в системе  $\text{La}_2\text{O}_3$ — $\text{TiO}_2$ — $\text{Nb}_2\text{O}_5$ . Диб М., Страхов В. И., Мельникова О. В., Кондратьева В. О. «Высокотемператур. химия силикатов и оксидов. Тез. докл. 6 Всес. совещ., Ленинград, 19—21 апр., 1988». Л., 1988, 128—129

Исследовано высокот-рное взаимодействие оксидов в системе  $\text{La}_2\text{O}_3$ — $\text{TiO}_2$ — $\text{Nb}_2\text{O}_5$  путем изучения фазовых равновесий в ряде частных разрезов в интервале т-р 900—1400° С. Установлено, что формирование титано-ниобатных фаз из оксидов осуществляется через образование бинарных соединений, среди к-рых преобладают  $\text{LaNbO}_4$  и  $\text{La}_2\text{Ti}_2\text{O}_7$ . При установлении хим. равновесия в системе образуются тв. р-ры на основе  $\text{La}_3\text{NbO}_7$  (типа флюорита),  $\text{LaNb}_3\text{O}_9$  (типа перовскита) и  $\text{LaTiNbO}_6$  (плавится инконгруэнтно при  $1510 \pm 30^\circ \text{C}$ ). Большинство исследованных фаз отличаются повышенной тугоплавкостью (т. пл. $> 1600^\circ \text{C}$  и высоким свето-преломлением.

По резюме

X. 1988, 19, N 18

(4)

18

LaN<sub>8</sub>O<sub>4</sub> (OM. 29506) 1988

Ishibashi Y., Karak.,  
Sawada A.,

Ter  
Physica, 1988, BC 150,  
N1-2, 258-264.

*LaNbO<sub>4</sub>*

*1989*

2 Е628. Термические полиморфные превращения и деформации ортониобатов  $\text{LaNbO}_4$ ,  $\text{NdNbO}_4$ ,  $\text{ErNbO}_4$  / Кондратьева И. А., Филатов С. К., Андрианова Л. В., Коровкин А. М. // Изв. АН СССР. Неорган. матер.— 1989.— 25, № 10.— С. 1710.— 1714

Рентгенографическим методом изучены полиморфные превращения и термич. деформации ортониобатов лантана, неодима и эрбия в интервале т-р 20—1000° С. Полученные главные значения тензора деформаций обеспечивают широкие возможности для выбора монокристаллов с целью изготовления изделий с заданным тепловым расширением.

Резюме

(+2) ~~Nd, Er~~

оф. 1990, № 2

$\text{NdNbO}_4$   
 $\text{ErNbO}_4$

*LaNbO<sub>4</sub>*

*1989*

5 Б2077. Термические полиморфные превращения и деформации ортониобатов  $\text{LaNbO}_4$ ,  $\text{NdNbO}_4$ ,  $\text{ErNbO}_4$  / Кондратьева И. А., Филатов С. К., Андрианова Л. В., Коровкин А. М. // Изв. АН СССР. Неорган. матер.— 1989.— 25, № 10.— С. 1710—1714.— Рус.

Рентгенографическим методом изучены полиморфные превращения и термич. деформации ортониобатов лантана, неодима и эрбия в интервале т-р 20—1000° С. Полученные главные значения тензора деформаций обеспечивают широкие возможности для выбора монокристаллов с целью изготовления изделий с заданным тепловым расширением.

Из резюме

*Tt2*

(72) 18

*X. 1990, N5*

La<sub>32</sub> Nb<sub>28</sub> S<sub>28</sub>

1989

19 Б2040. Синтез и характеристика новых смешаннослойных соединений  $\text{Ln}_{32}\text{Nb}_{28}\text{S}_{88}$  ( $\text{Ln}=\text{La, Ce}$ ). Preparation and characterization of new mixed sandwiched layered compounds  $\text{Ln}_{32}\text{Nb}_{28}\text{S}_{88}$  ( $\text{Ln}=\text{La, Ce}$ ) / Meerschaut A., Rabu P., Rouxel J. // J. Solid State Chem. — 1989. — 78, № 1. — С. 35—45. — Англ.

Осуществлен синтез (взаимодействием элементов в вакууме при  $T=1050^\circ\text{C}$  с послед. выращиванием моно-кристаллов с использованием  $\text{I}_2$  в кач-ве носителя) и рентгенографич. исследование соединений  $\text{La}_{32}\text{Nb}_{28}\text{S}_{88}$  (I) и  $\text{Ce}_{32}\text{Nb}_{28}\text{S}_{88}$  (II). Они изоструктурны и характеризуются параметрами ромбич. решеток ( $Z=1$ , ф. гр.  $Ccca$ ): I  $a=23,031$ ,  $b=23,216$ ,  $c=5,806 \text{ \AA}$ ; II  $a=22,877$ ,  $b=23,127$ ,  $c=5,775$ . Проведенный для I РСТА ( $R=0,155$  для 639 отражений) показал, что в направлении оси  $a$  в структуре чередуются слои 2 типов: состава  $\text{NbS}_2$  из соединенных ребрами тригон. призм  $\text{NbS}_6$  ( $\text{Nb-S}=2,353—2,587$ ,  $\text{Nb-Nb}=3,181—3,519$ ) и состава  $\text{LaS}$  из соединенных

семь и  
каракте-  
ристики

Х. 1989, № 19

La<sub>32</sub> Nb<sub>28</sub> S<sub>28</sub>

гранями 8-вершинников вокруг La (La—S 2,850—3,631). В слоях NbS<sub>2</sub> каждая из призм заселена статистически лишь на 50%, чем нивелируется сильное катион-катионное отталкивание через разделенные ребра призм. Для I возможна несоразмерность слоев NbS<sub>2</sub> и LaS, четко проявляющаяся в родственной структуре La<sub>72</sub>Cr<sub>60</sub>S<sub>192</sub>. Приведены значения  $I$ ,  $d(hkl)$  рентгенограмм порошка I и II.

С. В. Соболева

Да3 №07

Он. 34456 |

1990  
17

Колесников А. Н.,

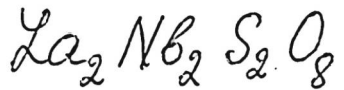
Сергеев В. П. и др.

(л) Узб. АН СССР. Неоргах.

938-800к. маееп. 1990, 26, N 8,



1783 - 1785.



1992

Brennan T. D.,  
IBERS J. A.

J. Solid State Chem.

supercrysma 1992. 98, N1. C. 82-  
89.

(crys.  $\text{La}_2\text{Ta}_3\text{S}_2\text{O}_8$ ;  $\text{I}$ )

$\text{LaNb}_3\text{O}_9$

$\text{LaNbO}_4$

$\text{La}_3\text{NbO}_7$

1993

II: 165037x Electrochemical determination of the Gibbs energies of formation of lanthanum niobates. Raghavan, S. ~~Dept.~~ Metallurgical Eng., Indian Inst. Technology, Madras, 600 036 ~~India~~. *J. Electrochem. Soc. India* 1993, 42(2), 125-7 (Eng). The Gibbs energies of formation of the three lanthanum niobates ( $\text{LaNb}_3\text{O}_9$ ,  $\text{LaNbO}_4$  and  $\text{La}_3\text{NbO}_7$ ) from the component oxides have been detd. in the temp. range 1215 to 1253 K using the high temp. solid state galvanic cell technique.

(A+G)

C.A. 1994, 121, N/4

Ла<sub>3</sub>NbO<sub>7</sub>

1995

18 Б251. Структурное описание La<sub>3</sub>NbO<sub>7</sub>. Structural description of La<sub>3</sub>NbO<sub>7</sub>. / Kahn-Harari A., Mazerolles L., Michel D., Robert F. // J. Solid State Chem. — 1995. — 116, № 1. — С. 103—106. — Англ.

Прозрачные, желтоватые игольчатой формы монокристаллы La<sub>3</sub>NbO<sub>7</sub>, получены путем растворения предварительно синтезированного La<sub>3</sub>NbO<sub>7</sub> во фториде свинца при 1200 °C с последующим контролируемым испарением растворителя. По монокристальным данным методом РСТА проведено уточнение строения (λMo, комнатная температура, 1524 отражения, R 0,029, ромбическая решетка, ф. гр. Pnma, Z 4, а 7,747, b 11,149, c 7,611 Å). La<sub>3</sub>NbO<sub>7</sub> характеризуется флюоритоподобным строением, причем для атомов La присутствуют два типа полиздеров: координация атомами O 6+1, среднее межатомное расстояние La—O 2,487 Å, а расстояние до удаленного атома O 2,708 Å; координация атомами O 6+2, среднее межатомное расстояние La—O 2,506 Å, а расстояния до двух удаленных атомов O 2,989 Å. Межатомные расстояния Nb—O лежат в пределах 1,936—2,076 Å. Структура La<sub>3</sub>NbO<sub>7</sub> представлена как взаимное чередование цепей [NbO<sub>5</sub>]<sub>∞</sub>, состоящих из октаэдров NbO<sub>6</sub>, и сеток [La<sub>3</sub>O<sub>7</sub>]<sub>—</sub> из тетраэдров OLa<sub>4</sub>.

В. П. Сиротинкин

структура

Х. 1996, N 18

$\text{LaNbO}_4$

1996

Фёдорова О.Н., Сирхахов  
В.И.

Ж. Нанорг. химии. 1996.

41, № 5. с. 835-836.

(сост.  $\bullet \text{SiMoO}_4$ ;  $\overline{\Gamma}$ )